

# **Effect of Thermal Treatment on Some Physical and Mechanical Properties of Cermet Coating by Flame Spraying Technology**

<sup>a</sup>Sameen F. Mohammed      <sup>b</sup>Salih Y. Darweesh

*<sup>a</sup>Northern Technical University, Technical institute of Kirkuk, Dep. of Techniques electrical.  
Iraq*

*sameen1966@yahoo.com*

*<sup>b</sup>Tikrit University, College of Education, Tuzkormato-Dep. of Physical. Iraq.  
salih.younis@tu.edu.iq*

---

**Keywords:** Coating technology, Thermal materials, Thermal spraying, Thermal treatment

---

## **Abstract**

In this research, thermal flame spraying technology was used for the purpose of producing a ceramic composite material produced from a mixture of ceramic material  $\text{Al}_2\text{O}_3$ , 25% and 50% with Ni-Al bonding material by 75% and 50% respectively, Coating through tests. The paint was made of graphite after it was tarnished by teething method. The spraying distance was 12 cm. The thermal treatment of the coated samples was at 1000 ولفت and for a period of two hours only. Through the tests of porosity, hardness and x-ray resistance, it was found that the best ratio of ceramic coating was in the ratio (50% alumina) with (50% of the bonding material). Where the best porosity was about 50% of the alumina and of the bond material as it reached 10.52%, the best hardness was also at 50% of the alumina and 50% of the bonding material as it reached 47.48Hv, the thermal treatment helped reduce the porosity to 7.44% and increased the hardness to 56.22Hv at the rate of 50% of the alumina and 50% of the bonding material, Finally the thermal treatment at (1000 °C ) and for two hours helped improve the crystalline uniformity at the angles of diffraction of defects.

## تأثير المعاملة الحرارية على بعض الخصائص الفيزيائية والميكانيكية لطلاء سيرميتي بتقنية الرش الحراري باللهم

صالح يونس درويش

سمين فاضل محمد

جامعة تكريت- كلية التربية طوزخورماتو  
Salih.younis@tu.edu.iq

الجامعة التقنية الشمالية- المعهد التقني كركوك- قسم تقنيات الكهربائية  
sameen1966@yahoo.com

### الخلاصة

تم في هذا البحث استخدام تقنية الرش الحراري باللهم لغرض انتاج مادة مركبة سيرميتي ناتجة من خليط مادة سيراميكيه هي الألومنيا  $\text{Al}_2\text{O}_3$  بنسبة ٢٥٪ مع مادة رابطة معدنية من (Ni-Al) بنسبة ٧٥٪، على التوالي والتعرف على افضل نسبة طلاء من خلال الفحوصات. قواعد الطلاء كانت من الكرافيت بعد ان تم تخشينها بطريقة التسنين، اما مسافة الرش كانت ١٢ سم، والمعاملة الحرارية للعينات المطلية كانت عند (١٠٠٠°C) ولفتره زمنية مقدارها ساعتين فقط. من خلال اختبارات المسامية والصلادة وحيود الاشعه السينيه وجد ان افضل نسبة طلاء سيرميتي كانت عند النسبة (٥٠٪ الومينا) مع (٥٠٪ من المادة الرابطة)، حيث ان افضل مسامية كانت عن النسبة ٥٠٪ من الألومنينا و من المادة الرابطة اذ وصلت الى ١٠.٥٢٪، افضل صلادة ايضا كانت عند النسبة ٥٠٪ من الألومنينا و ٥٠٪ من المادة الرابطة اذ وصلت الى ٤٧.٤٨ Hv، المعاملة الحرارية ساعدت الى تخفيض نسبة المسامية الى ٧.٤٤٪ و عملت على رفع قيمة الصلادة الى ٥٦.٢٢ Hv عند النسبة ٥٠٪ من الألومنينا و ٥٠٪ من المادة الرابطة، واخيرا فأن المعاملة الحرارية عند (١٠٠٠°C) ولزمن ساعتين ساعد على تحسن في الانظام البلوري عند موقع زوايا الحيود دلالة على تجانس طبقات الطلاء وخلوها من العيوب.

**الكلمات المفتاحية:** تقنية الطلاء، المواد السيرميتي، الرش الحراري، المعاملة الحرارية.

### المقدمة

إن المواد المركبة السيرميتيه تتأثر عادة بخواص المواد الداخلة في تركيبها التي تتضمن المادة الأساس (Matrix)، وطور التقوية (Reinforcing Phase). تمثل المادة الأساس عادة بالطور المستمر في المادة المركبة، اذ يعمل على تماست عناصر ومواد التقوية، وربط الأجزاء معاً لتكون نظام تركيبي متماست يمكنه إنتاج خواص ميكانيكية جيدة، تتضمن زيادة المتانة وخفة في الوزن، لذلك تم الاتجاه إلى إنتاج المواد المركبة لتكون بديلاً عن المواد الهندسية التقليدية مثل: المعادن والسبائك أو البوليمرات. أما مواد التقوية فهي تعمل على تقوية المادة الأساسية وقد تكون هذه المواد سيراميكيه أو معدنية أو بوليمرية وهي مختلفة الأشكال فقد تكون بشكل مساحيق، او ألياف او قشور [1]. وقد شهدت طرائق تصنيع المواد المركبة في السنوات العشرة الأخيرة تطويراً كبيراً في إنتاج المواد المركبة، المقواة بالألياف، او الدفائف، او الشعيرات، خاصة باستخدام طريقة السباكة (Casting)، وتكنولوجيا المساحيق (Powder Technology)، او طرائق الطلاء بالرش الحراري (Thermal Spray Coating) [2,1]. إن أهم الأجزاء الهندسية المعرضة للفشل بسبب العيوب السطحية هي الريش التوربيني (Turbine Blades) في المحرك التوربيني، وذلك بسبب كونها أجزاء

دواره تعمل في درجات حرارية عالية، وبوجود أوساط آكلة (Environments Corrosive). وحيث إن اختيار المواد المركبة السيرميتية المكونة من أكاسيد مواد سيراميكية ذات درجات الانصهار العالية مثل  $\text{TiO}_2$  ، او  $\text{ZrO}_2$  ،  $\text{Al}_2\text{O}_3$  ) مع عناصر مضافة من مواد حديدية تسمى بالسيرمت (Cermet) [٣]. تناول العديد من الباحثين تقنية الرش الحراري باللهب، حيث في عام (٢٠١٠) درس الباحث (عمار) تأثير عوامل الرش الحراري باللهب على معدل البلي للفولاذ متوسط الكربون وقد تم التوصل إلى أفضل المتغيرات التي تعطي أعلى التصاقية وأقل معدل بلي. حيث أوضحت النتائج إن زيادة الخشونة من ( $0.85\mu\text{m}$ ) إلى ( $10.50\mu\text{m}$ ) أدت إلى انخفاض معدل البلي بنسبة تصل إلى حوالي أكثر من (51%)، علاوة على زيادة التصاق طبقة الطلاء بالسطح الأساس من خلال ازدياد قوة الترابط الميكانيكي بينهما بنسبة تصل إلى أكثر من (67%) [٤]. أما في عام (٢٠١٣) درس الباحث (حيدر) الخصائص الفيزيائية والميكانيكية لطلاءات من مادة البرونز على قواعد من الفولاذ المقاوم للصدأ نوع (٣٠٤) حيث أظهرت النتائج المتماثلة بالمسامية والصلادة والتلاصق اعتمادها على بعض متغيرات الرش مثل: (مسافة الرش، زاوية الرش، سمك الطلاء، درجة المعاملة الحرارية). أفضل مسافة للرش ( $15\text{cm}$ ) عن المنفذ وأفضل زاوية رش ( $90^\circ$ ) وأفضل سمك للطلاء ( $0.3 \pm 1.97\text{mm}$ ). تم الحصول على أفضل نسبة للمسامية وكانت بحدود (5.95%). وأفضل درجة معاملة حرارية ( $950^\circ\text{C}$ ) ولمدة ساعة [٥]. وفي عام (٢٠١٤) درس الباحث (صالح) الخصائص الميكانيكية والفيزيائية لنظام متكون من ( $\text{Al}_2\text{O}_3+\text{Zr}_2\text{O}_3+\text{Al-Ni}$ ) بطريقة الرش الحراري باللهب واتضح أن معاملة حرارية ( $1050^\circ\text{C}$ ) ولزمن ساعة ونصف وعند مسافة  $16\text{cm}$  اعطت أفضل التصاقية وأقل مسامية وأفضل خصائص ميكانيكية لطبقة الطلاء الناتجة [٦]. وإن الهدف من البحث الحالي هو محاولة جديدة الحصول على مواد تعمل كغطاء واقي ضد التآكل والتشقق في أنابيب النفط والتوربينات المستخدمة لتوليد الطاقة الكهربائية لما تتعرض له من حرارة عالية وبخار كثيف يسبب تآكل وتشقق هذه الأجزاء، وكذلك في العديد من التطبيقات العسكرية والصناعية التي تتعرض للتآكل.

## الجزء العملي

### ١ - المواد الأولية المستخدمة في البحث

تم استخدام مسحوق الألومينا المصنعة من شركة (Metco) رقم (110) كمادة أساس (Matrix) وبحجم حبيبي يتراوح من ( $75-100\mu\text{m}$ ). تم قياس الحجم الحبيبي مرة ثانية لمادة الطلاء بواسطة التحليل بالمناخي (Analysis Seiving) المصنعة طبقاً إلى المواصفات الأمريكية (ASTM) فكانت متطابقة تماماً علماً بأن معدل هذا الحجم هو كافٍ للانصهار في جهاز الرش الحراري بهذا الحجم. أما مسحوق المادة الرابطة فقد تم استخدام مادة رابطة مصنعة من شركة (Amdry) رقم (997) التي تتتألف من سبيكة ( $\text{Ni}_{80}\text{ Al}_{20}$ ) وبحجم حبيبي ( $75-100\mu\text{m}$ )، وذلك لمقاومتها الجيدة للتأكسد عند الدرجات الحرارية العالية، والى تجانس إنصهارها بقوه تلاصق جيدة ما بين القواعد الأساس (Substrate) وطبقات الإكساء السيراميكية.

## ٢- طريقة التحضير

تم استعمال قواعد من الكرافيت وذلك لتحملها العالي لدرجات الحرارة التي تصل الى (4000°C). كما تمتاز بالتوسيع الكهربائي والحراري الجيد والتمدد الحراري الواطئ إضافة الى مقاومته للصدمات الحرارية عالية وكما ان ملائتها تزداد مع ارتفاع درجات الحرارة . بعد الكرافيت مادة سيراميكية ويتواجد في الطبيعة على شكل كاربون وهو سداسي التركيب البلوري مقاوم الى الحرارة والتفاعلات الكيميائية لذلك يستخدم في كثير من التطبيقات الحرارية العالية. تم تحضير المركبات السيرميتية منأخذ نسب مختلفة من مسحوق المادة الرابطة (Ni<sub>80</sub>Al<sub>20</sub>) وبنسبة وزنية مقدارها % (50، 75)، وتتمثل إضافتها الى مسحوق المادة الأساسية من الألومينا (Al<sub>2</sub>O<sub>3</sub>) . بعد ذلك تم خلط المزيج لمادة الأساس مع المادة الرابطة بصورة جيدة من خلال استخدام خلاط كهربائي ذي كرات من التفلون لمدة ساعتين، وذلك لغرض الحصول على خليط متباين. ثم أجريت معاملة حرارية أولية(التلدين) لمساحيق المواد المركبة السيرميتية قبل عملية الطلاء عند درجة حرارة (150°C) لمدة ساعتين ، وذلك بإستخدام فرن نوع (Carbolite) إنكليزي المنشأ يحتوي على مسيطر حراري نوع (Euotherm) ، إن الغاية من إجراء المعاملة الحرارية قبل عملية الطلاء هي لتجفيف دقائق المساحيق من تأثير الرطوبة، وبالتالي ستكون الدقائق بحالة لدونة جيدة، تكون مؤهلة لإنتاج طلاءات ذات قوة تلاصق جيدة مع المادة الأساسية [٦]. تم إجراء عملية الرش الحراري بالللهب (Flame Thermal Spray) على قاعدة من الكرافيت، وبمسافة الرش (١٢ سم) وهي المسافة بين فتحة مسدس الرش (منفذ الدقائق) وسطح القاعدة . وقد استخدمت قيم نسب إضافات وزنية مختلفة لمسحوق الألومينا (Al<sub>2</sub>O<sub>3</sub>) المضافة الى مسحوق نيكل – المنيوم (Ni-Al) ، وبعد اكتمال عملية الرش والحصول على طبقة المادة المركبة السيرميتية، أجريت اختبارات المسامية والصلادة وفحوصات الاشعة السينية والفحص المجهرى للطبقة المنتجة قبل المعاملة الحرارية وبعدها، والجدول (١) يوضح المعلومات المثلية لقيم الرش الحراري بالللهب .

**الجدول (١) معلومات قيم الرش المثلية للعينات**

القيمة	معلومات الرش المثلية
(50% + 50%)	نسبة الإضافة لمادة الرابطة (Ni-Al) مع المادة الأساسية (Al <sub>2</sub> O <sub>3</sub> )
12 cm	مسافة الرش
1.45±0.15mm	السمك
5 sec	الفترة الزمنية بين رشة وأخرى
90°	زاوية الرش

### ٣- الفحوصات والقياسات العملية

#### اولاً: فحص المجهر الضوئي

تم إجراء عملية الفحص المجهي للعينات التي تم طلاؤها للاحظة التركيب الدقيق لها لمسافة الرش (12cm) قبل وبعد المعاملة الحرارية، لغرض فحص التركيب المجهي للعينات التي يجب أن يتم تحضيرها بشكل جيد وتشمل عملية التحضير عملية التدعيم (Process grinding)، عملية الصقل (Eatching Process)، عملية الإظهار (polishing).

#### ثانياً: فحص المسامية

إن وجود المسامات في طلاءات الرش الحراري هي من أهم السمات المميزة لهذه الطلاءات ، وهي تؤثر في خواص هذه الطلاءات لذلك من الضروري معرفة قيم نسبة المسامات في الطلاء . وتم إجراء فحص المسامية بالإستفادة من عينات طبقة الطلاء فقط بعد خلعها من المادة الأساسية عند أجراء عملية الفحص . تم الإعتماد على مبدأ أرخميدس لطريقة العمر ( Immersion Method ) في حسابات نسبة المسامية وفق المعايير القياسية رقم ( ASTM – C 830 [٧] ) ، التي تشمل الخطوات الآتية :

١ - تجفيف العينات للمادة المركبة لمدة نصف ساعة بإستخدام فرن كهربائي من نوع ( Heraeus ) عند درجة حرارة (75°C) ثم وزن العينات بإستخدام ميزان حساس ذو حساسية (±0.001mgm) ويسمى هذا الوزن (W<sub>1</sub>).

٢ - غمر العينات في إناء مملوء بالماء المقطر لمدة (24hr) ثم وزن العينات المشبعة بالماء ، وتُسخن لدرجة (100°C) وتترك لتبرد ثم توزن ويسمى هذا الوزن (W<sub>2</sub>).

٣ - وزن العينات وهي مغمورة وعلقة في الماء المقطر ويسمى هذا الوزن (W<sub>3</sub>).

٤ - يمكن حساب نسبة المسامات المفتوحة (P<sub>o</sub> %) بإستخدام العلاقة الآتية [٨] :

$$P_o \% = [ ( W_2 - W_1 ) / ( W_2 - W_3 ) ] \times 100 \quad \dots \dots \dots \quad (1)$$

أما نسبة المسامات الكلية (P<sub>T</sub> %) فيمكن إيجادها من العلاقة أدناه [٧]:

$$P_T \% = [ 1 - ( \rho_B / \rho_s ) ] \times 100 \quad \dots \dots \dots \quad (2)$$

حيث أن :

$\rho_B$ : تمثل الكثافة الظاهرية لمادة الطلاء.

$\rho_s$ : تمثل كثافة مادة قاعدة الطلاء وتحسب بنفس الطريقة.

وأن الكثافة الظاهرية لمادة الطلاء تحسب من العلاقة [٨]:

$$\rho_B = [ W_1 / ( W_2 - W_3 ) ] \rho_w \quad \dots \dots \dots \quad (3)$$

$\rho_w$ : تمثل كثافة الماء وهي (1gm/cm<sup>3</sup>).

### ثالثاً: فحص الصلادة

تم قياس الصلادة بطريقة فيكرز (Vicker's Hardness) للنماذج التي تم طلاؤها وذلك بعد إجراء عملية تغريم وصفل قبل وبعد إجراء المعاملات الحرارية، وإن الأثر المستخدم هو ضاغط ماسي هرمي الشكل ذي زاوية (136°) بين الوجهين المتقابلين بتسليط حمل مقداره (100 gm) مع زمن تسليط مقداره (10sec) ويتم رفعه أوتوماتيكياً بعد إضافة المؤشر الضوئي بانتهاء الفترة الزمنية المحددة ومن ثم يتم حساب ابعاد الأثر الناتج في المحوريين وباتجاهين متsequدين وبأخذ خمس قراءات واحتساب متوسطها الحسابي للحصول على قيمة الصلادة من الشاشة الرقمية المثبتة على الجهاز بشكل مباشر، والعلاقة التالية تمثل صلادة فيكرز [٦]:

$$H_V = \frac{P}{dav^2} \quad \dots \dots \dots \quad (4)$$

حيث أن

$H_V$  : صلادة فيكرز

P : الحمل المسلط (gm).

dav: متوسط قطر الأثر.

وقد تم قياس الصلادة في عدة مناطق مختلفة من العينة، حيث أخذت الصلادة على الأطراف وفي المركز وتم جمعها للحصول على قيمة تقريرية لمعدل الصلادة.

### رابعاً: فحوصات الأشعة السينية

لأجل التعرف على الأطوار المتكونة لعناصر مواد الرش المستخدمة والتحولات الطورية التي حدثت بعد عملية الرش. تم استخدام جهاز حيود الأشعة السينية (X-ray Diffractionmetrs) المنتج من شركة Philips حيث كان الهدف المستخدم (Target) في أنبوبة الأشعة السينية هو النحاس ذو الطول الموجي الذي يساوي (Cu K $\alpha$ ) (1.542A°) وحسب المعلمات المبينة في الجدول (٢).

الجدول (٢) معلمات التحليل بحبيبات الأشعة السينية

Voltage	40 Kv
Current	40 mA
Scan Speed	12 θ/min
ScanRange	10° - 60°

ومن خلال معرفة الطول الموجي ( $\lambda$ ) وقياس زاوية الحيود ( $\theta$ ) ، تم الحصول على قيم المسافة بين المستويات الذرية (d) وذلك باستخدام معادلة براك المعطاة بالعلاقة التالية [٥] :

$$2 d \sin \theta = n \lambda \quad \dots \dots \dots \quad (2-3)$$

حيث أن :

$\theta$ : زاوية الحيود

n : مرتبة الحبيبات وتساوي 1

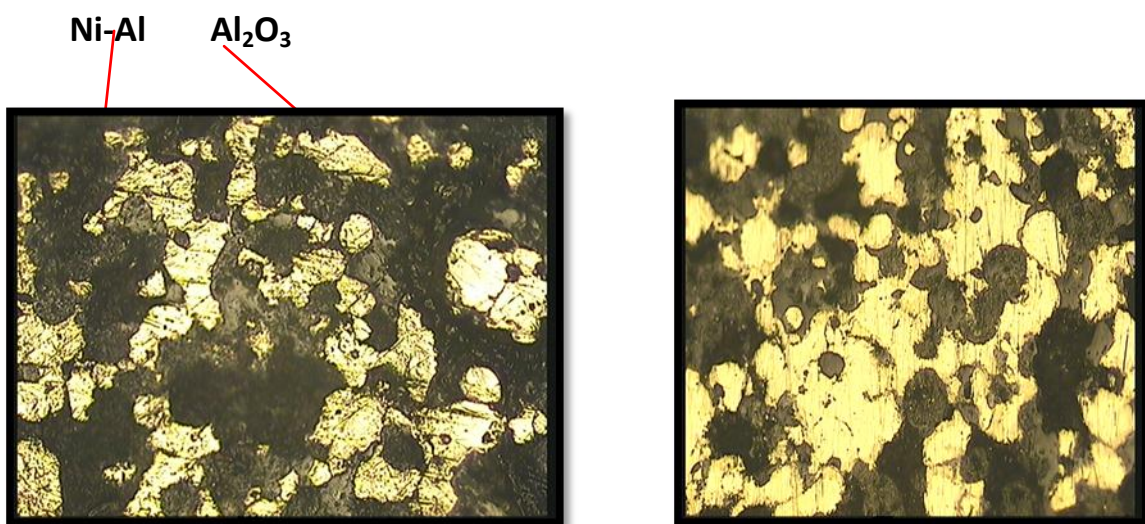
λ : الطول الموجي للأشعة السينية ويساوي (1.542A°)

تم تحديد الأطوار المتكونة من خلال إجراء مقارنة لقيم المسافات البينية بين المستويات المحادة (d) وشدة الأشعة المحادة من خلال الجداول القياسية الأمريكية (ASTM).

#### ٤- النتائج والمناقشة

##### ٤-١: تأثير المعاملة الحرارية على التركيب المجهرى للطلاء السيرامى

بعد إجراء عملية الرش لمسافة الرش 12cm أخذت الصور المجهرية بعد عملية الرش وقبل المعاملة الحرارية لمادة الطلاء كما في الشكل (1-a) . وعند قوة تكبير ثابتة هي (500×).



الشكل (1-a) مسافة الرش 12cm

الشكل (1-b) البنية المجهرية لطبقة الطلاء عند درجة ( 1000 °C )

عند مسافة الرش 12cm في الشكل اعلاه في اليسار (a) لوحظ التجانس في طبقة الطلاء مع تلاصق جيد مع قاعدة الطلاء وبوضوح حيث تحتوي طبقة الطلاء على خواص مثالية وهنالك تجانس وانصهار تام ومسامات قليلة. اما الشكل اعلاه نحو اليمين (b) نلاحظ من خلال الشكل حصول عمليات التلبيد والانتشار لطبقة الطلاء وتحسن في الخواص الفيزيائية عند المعاملة الحرارية ويعزى ذلك الى انخفاض قيم المسامية وأزاله الإجهادات الداخلية بين طبقات الطلاء.

##### ٤-٢: تأثير المعاملة الحرارية على مسامية الطلاء السيرامى

لقد أوضحت نتائج القياسات التجريبية للمسامية بظهور نسب مختلفة للمسامات في مادة الطلاء تبعاً لاختلاف نسب الترسيب المعتمدة في بحثنا وهي % 75 (50) من المادة الرابطة ( Ni-Al ) مع ما يقابلها من مادة الألومينا (Al<sub>2</sub>O<sub>3</sub>). ومن ملاحظة الجدول (3) نجد أن نسبة المسامات قد تراوحت بين ( ٥٢% - ١٠% ) للنسبة ( Ni-Al ) + 25% (Al<sub>2</sub>O<sub>3</sub>) وبين ( 20.0% ) للنسبة [ (50% (Ni-Al) + 50% (Al<sub>2</sub>O<sub>3</sub>) ] (75%) .

**الجدول (٣) يوضح نسبة المسامات الناتجة لنسب الطلاء السيرمتيّة [ (Al<sub>2</sub>O<sub>3</sub>) + Ni-Al ] المستخدمة قبل وبعد المعاملة الحراريّة.**

نسبة الترسيب	نسبة المسامات (%) porosity %
50 % ( Ni-Al ) + 50% ( Al <sub>2</sub> O <sub>3</sub> )	10.52%
75% (Ni-Al) + 25% (Al <sub>2</sub> O <sub>3</sub> )	20%
At 1000 °C	7.44%

والجدول اعلاه يوضح بأن أقل نسبة مسامية تكون عند نسبة الترسيب ( 50% ) حيث كانت المسامية بحدود ( 10.52% ). ولغرض التقليل من نسبة المسامية في مادة الطلاء السيرمتيّة الناتجة أجريت المعاملة الحراريّة للعينات ذات المواصفات القياسية ، كونها المواصفات التي سجلت عنها أقل قيمة للمسامية قبل المعاملة الحراريّة. وقد أجريت المعاملة الحراريّة في فرن حراري غير مفرغ، عند درجة حرارة ( °C 1000 )، ولفترة ( 2 hr ) وقد لوحظ تغيير ملحوظ في نسبة المسامية، إذ انخفضت قيمتها إلى ( 7.44% ) إن هذا التغيير في قيمة المسامية يعزى إلى تكوين مناطق ترابط بين طبقات الطلاء السيرمتيّة بسبب حدوث عمليات تلبيد وانتشار للذرات عن طريق انتقال الذرات فيما بينها، ومحاولتها غلق المسامات عند إجراء المعاملة الحراريّة.

#### **٤-٣: تأثير المعاملة الحراريّة على صلادة الطلاء السيرمتي**

من خلال استعراض النتائج المستحصلة لقيم الصلادة للعينات ذات نسب الإضافة المختلفة لمادة الطلاء مع المادة الرابطة قبل إجراء المعاملة الحراريّة، نجد أن القيم تراوحت بين ( 32.2 Hv ) للنسبة [ Ni- 75% ( 32.2 Hv ) ] إلى ( 47.48 Hv ) للنسبة ( Al<sub>2</sub>O<sub>3</sub> + 50% Ni-Al ) . وكما مبين في الجدول ( ٤ ) .

**الجدول ( 4 ) يوضح قيم الصلادة مع نسب الإضافة المختلفة قبل وبعد إجراء المعاملة الحراريّة.**

نسب الترسيب	قيم الصلادة ( HvT )
75% (Ni-Al) + 25% (Al <sub>2</sub> O <sub>3</sub> )	32.2
50% (Ni-Al) + 50% (Al <sub>2</sub> O <sub>3</sub> )	47.48
At 1000 °C	56.22

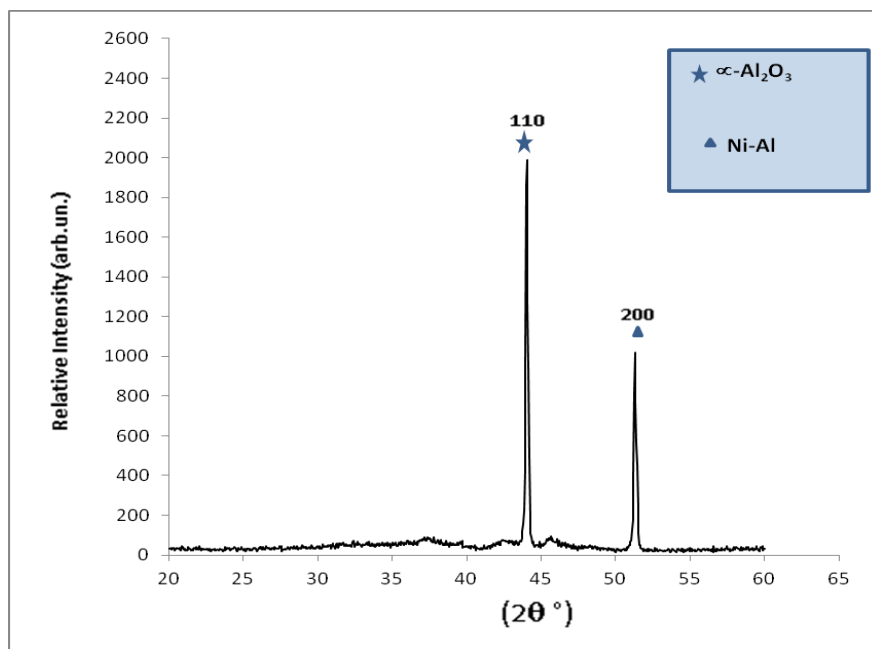
من الجدول اعلاه نلاحظ أن أحسن قيمة للصلادة كانت عند نسبة الترسيب [ 50 % ( Ni-Al ) + 50% ( Al<sub>2</sub>O<sub>3</sub> ) ] وهذا يعزز ما تم مناقشته في موضوع المسامية، إذ أن أقل قيمة للمسامية ناظرتها أعلى قيمة للصلادة وعند نسبة الإضافة نفسها. عند إجراء المعاملة الحراريّة للعينات ذات المواصفات القياسية ولمدة ( 2 hr ) وعلى درجة حرارة ( 1000°C ) نلاحظ حدوث تغيير ملحوظ في قيم الصلادة لطبقة الطلاء السيرمتي، إذ

تزداد القيمة الى ( $56.22H_vT$ ) . إن ذلك يعود الى ازدياد الترابط بين ذرات طبقة الطلاء بفعل الحرارة مما أدى الى تجانس طبقات الطلاء وانخفاض العيوب السطحية كما لوحظ ذلك من خلال قلة نسبة المسامات وبالتالي ازدياد قيمة صلادة طبقات الطلاء السيرمتى.

#### ٤-٤: نتائج حيود الاشعة السينية (X-ray Diffraction Results)

تعد دراسة عينات البحث بوساطة الأشعة السينية من الوسائل المهمة للتعرف على هوية و طبيعة وتركيب المادة المستخدمة في عملية الرش الحراري أولاً و مراقبة التغيرات الطورية التي تحدث عليها ثانياً

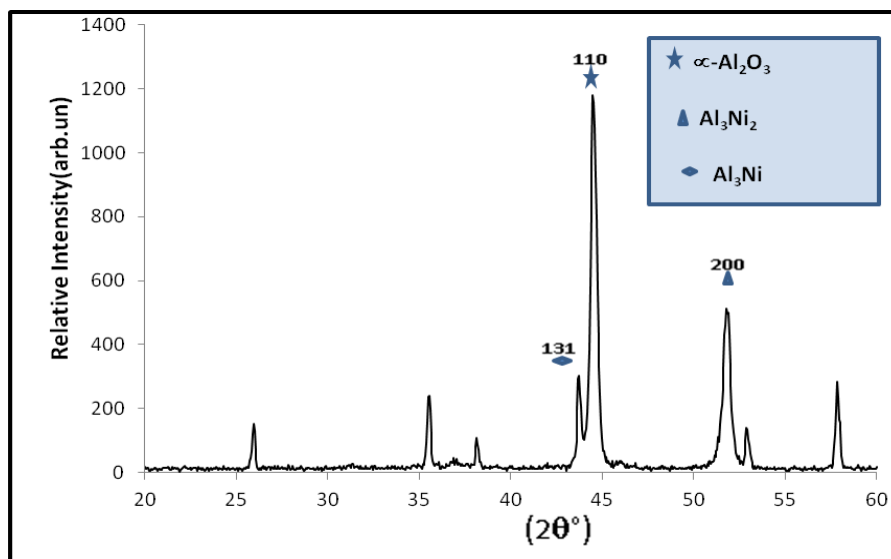
(٢) يمثل نتائج حيود الأشعة السينية لمحشوقة مادة الطلاء الناتج من مزج (50% من ( $\alpha$ -Al<sub>2</sub>O<sub>3</sub>) مع (50%) من المادة الرابطة (Ni-Al) قبل الطلاء.



الشكل (٢) يوضح حيود الأشعة السينية لمسحوق الطلاء (Al<sub>2</sub>O<sub>3</sub>+Ni-AL) قبل عملية الطلاء

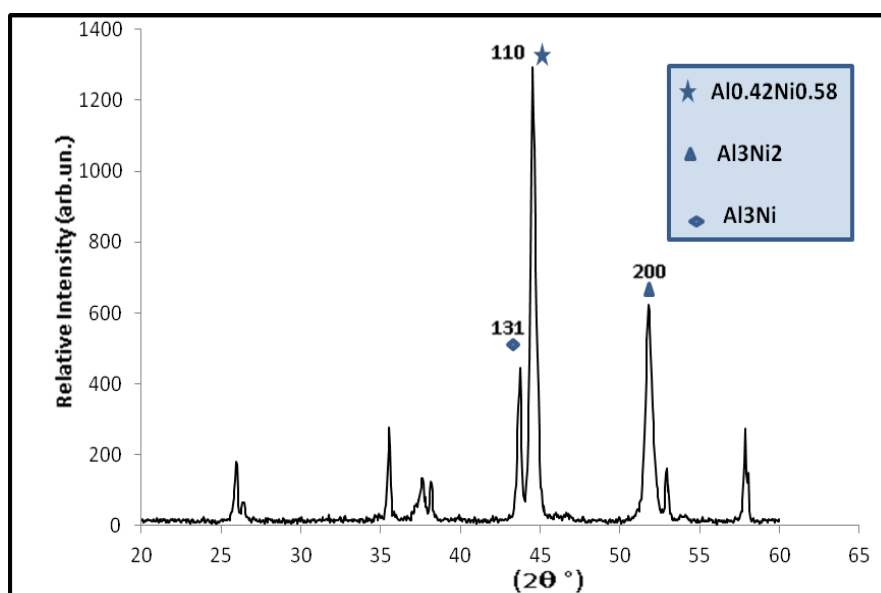
ومن خلال الشكل اعلاه نجد أن النوع المستخدم في عملية الرش الحراري كان الومينا من نوع  $\infty$ - $\text{Al}_2\text{O}_3$  (Al<sub>2</sub>O<sub>3</sub>) وهو ثلاثي التركيب (Trigonal)، ومن المادة الرابطة (Ni-Al) المكون من طور (FCC)  $\gamma$ . وذلك من خلال مقارنة النتائج مع الجداول القياسية الامريكية (ASTM) [ ١٠ ، ٩ ]. الشكل (3) ادناه يمثل نتائج حيد الأشعية السينية للمادة المؤلفة الناتجة من مزج (50%) من  $\infty$ - $\text{Al}_2\text{O}_3$  مع (50%) مع المادة الرابطة ( Ni-Al ) بعد عملية الطلاء، إذ لم يُلحظ أثناء الطلاء ( Coating ) ظهور أي تحولات طوريه كاملة ( Transformation ) الى  $\gamma$ - $\text{Al}_2\text{O}_3$  ( Cubic ) أو جزيئية ( Metastable ) او  $\infty$ - $\text{Al}_2\text{O}_3$  الى  $\gamma$ - $\text{Al}_2\text{O}_3$  بل كانت مستقرة على طور (  $\infty$ - $\text{Al}_2\text{O}_3$  ). مع ظهور اطوار مختلفة من ( Ni-Al )  $\beta$  والمسمى ، B2 بـ ( ordered BCC ) على شكل ( Al<sub>3</sub>Ni ) و ( Al<sub>3</sub>Ni<sub>2</sub> ). ان ظهور هذه الاطوار يدل على وجود تفاعل وتدخل ( Interface ) قد حصل بين مكونات مادة الطلاء السيرمي، وهذا يتفق مع النتائج التجريبية لتحاليل Vilms ( microstructure ) الموضحة سابقا.

ومجموعته) مع Zhu ( ومجموعته) من خلال دراسات الأشعة السينية التي أجرياها على طبقات الطلاء السيرميتية المحضرة بطريقة البلازما، والتي أكدت على أن ظهور الأطوار الأخرى يحسن من الخواص الفيزيائية والميكانيكية لطبقات الطلاء [11، 12]. من أجل تحسين الخواص تم إجراء المعاملة الحرارية لغرض تحسين الخواص الفيزيائية لطبقات الطلاء السيرميتية.



الشكل (٣) حيود الأشعة السينية لخلط الألومينا والمادة الرابطة [50 % ( Ni-Al ) + 50 %  $\text{Al}_2\text{O}_3$ ] بعد إجراء عملية الطلاء.

أما الشكل التالي(4) يوضح نتائج حيود الأشعة لمادة الطلاء وبعد إجراء المعاملة الحرارية بواسطة الفرن بدرجة حرارة (1000 °C) ولمدة 2 hr.



الشكل (٤) نتائج حيود الأشعة لمادة الطلاء بعد المعاملة الحرارية بدرجة حرارة (1000 °C) ولمدة 2 hr.

من خلال الشكل (4) نلاحظ تحسن في الانظام البلوري عند موقع زوايا الحيد دلالة على تجانس طبقات الطلاء وخلوها من العيوب .

#### ٥- الاستنتاجات:

الحصول على طلاء متجانس وتم الانصهار وجيد الالتصاق عند مسافة رش حراري (٢ سم) . وافضل مسامية كانت عن النسبة ٥٠٪ من الألومينا و ٥٠٪ من المادة الرابطة اذ وصلت الى ١٠.٥٢٪ . وافضل صلادة ايضا كانت عند النسبة ٥٠٪ من الألومينا و ٥٠٪ من المادة الرابطة اذ وصلت الى ٤٧.٤٨ Hv.

وان المعاملة الحرارية ساعدة الى تخفيض نسبة المسامية الى ٧.٤٤٪ وعملت على رفع قيمة الصلادة الى ٥٦.٢٢ Hv عند النسبة ٥٠٪ من الألومينا و ٥٠٪ من المادة الرابطة . وكما اظهرت نتائج حيود الاشعة السينية ان النوع المستخدم من مادة الومينا نوع ( $\alpha$ -Al<sub>2</sub>O<sub>3</sub>) وهو ثلاثي التركيب (Trigonal)، ومن المادة الرابطة (Ni-Al) المتكون من طور (FCC) γ . وكذلك بعد الطلاء نلاحظ ظهور اطوار مختلفة من (Ni-Al) β على شكل (Al<sub>3</sub>Ni<sub>2</sub>) و (Al<sub>3</sub>Ni) . وان المعاملة الحرارية عند (١٠٠٠°C) ولزمن ساعتين ساعده على تحسن في الانظام البلوري عند مواقع زوايا الحيد دلالة على تجانس طبقات الطلاء وخلوها من العيوب.

#### المصادر

- [1] J.R. Vinson, T.W. Chou, "Composite Material and their use in Structure", Applied Sciences publisher LTD, London, 1999
- [2] L.F.Mondolfo , "Aluminum Alloys : structure and properties" Butter worth com., London , 1985.
- [3] R.Viswanathan and A.C .Dolbec , Jor . Of "Engineering for gas turbines and power " , vol. 109, pp. (115-123) , 1987.
- [4] عمار رزاق الشمري , "تأثير عوامل الرش الحراري باللهب على معدل البلي للفولاذ متوسط الكاربون" رسالة ماجستير, الجامعة التكنولوجية, قسم هندسة المواد, ٢٠١٠ .
- [5] حيدر غالب, " دراسة الخصائص الفيزيائية والميكانيكية لطبقات طلاء البرونز المحضر بتقنية الرش الحراري باللهب", رسالة ماجستير, جامعة تكريت, كلية التربية للعلوم الصرفة, قسم الفيزياء, ٢٠١٣ .
- [6] صالح يونس دروش, " دراسة الخواص الفيزيائية والميكانيكية لطبقات طلاء البرونز السيرميتيه(Al<sub>2</sub>O<sub>3</sub>+ZrO<sub>2</sub>+Al-Ni) المحضر بتقنية الرش الحراري باللهب", رسالة ماجستير, جامعة تكريت, كلية التربية للعلوم الصرفة, قسم الفيزياء, ٢٠١٤ .
- [7] C 830, Annual Book of ASTM Standards," American Society for Testing and Material", U.S.A, vol. 15, p. (1), 1988.
- [8] H.Van Vlack, "Elements of Materials Science ", 4th ed, Addison Company, 1991.
- [9] (ASTM) " American Standard of Testing Materials ", 2010.

- [10] Powder Diffraction File, Inorganic volume, card no.(10-173), published by joint committee on powder diffraction standards", 1974."
- [11] V.Vilms and p. Herman ,of 8<sup>th</sup> " International Thermal Spraying Conference", 1988.
- [12] D.Zhu, R.A.Miller, "thermo physical and thermo mechanical properties of thermal barrier coating systems", ceram.sci.proc. vol.21, pp. (623-633), 2000.